

1. まえ が き

この研究は波の打上げ高の定式化を試み、その成果を越波量の定式化に応用することを目的としている。今回の報告は、汀線より海側の鉛直壁（海底勾配 $1/10$ ）における、波の打上げ高の算定式を提案したものである。

2. 研究方法

これまでの実験結果(海底勾配 $1\% \sim 2\%$)によれば、波の実質部分(連続体として考えられる)の打上げ高R₀の最大になる浸脚水深は、Micheによる進行波の碎波水深とほぼ一致している。Miche(1944)の碎波限界の式は次の式(1)で示される。

$$\left(\frac{H_b}{L_b}\right)_p = 0.142 \tanh 2\pi \left(\frac{h_b}{L_b}\right)_p , \quad (1)$$

ここに、 $(H_b)_p$ 、 $(L_b)_p$ および $(h_b)_p$ は、それを
れ、進行波の碎波点における波高、波長および水
深である。

図-1 の実線は、式(1)の計算結果を微小振幅波理論より、深水波の波形勾配 H_0/L と比水深 $(h_b)_p/L$ との関係に書き換えたものである。

しかし、碎波後の波(進行波型碎波)が沿岸壁に衝突すると、多量の飛沫を生じる。著者の実験(海底勾配 $1/10$)によれば、飛沫の打上げ高 R' が最大になるときの堤脚水深 $r_{R'_{\max}}$ は、近似的に式(2)で示される。

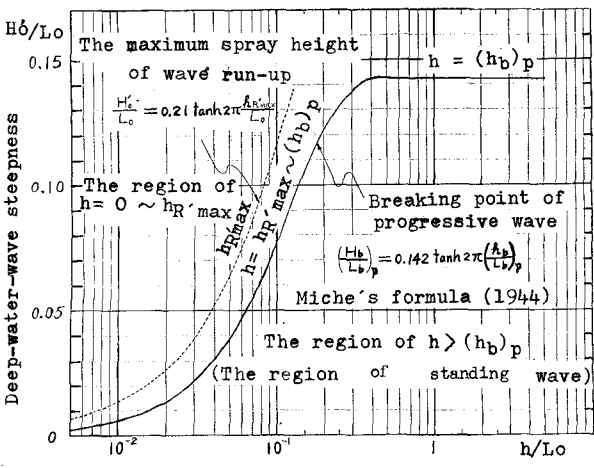


図-1. 波の打上げ高 算定式用の堤脚水深の分類

$$H'_o/L_o = 0.21 \tanh(2\pi h_{R_{max}}/L_o) \quad . \quad (2)$$

図-1の点線は、式(2)の計算結果を示すが、所定の H_0'/L において最大波力を与える堤脚水深にはほぼ等しい。そこで、この研究は、堤脚水深 h を、図-1に示すように、三つの領域 [$h > (h_b)_p$, $h = h_{R'_{max}} \sim (h_b)_p$, および $h = 0 \sim h_{R'_{max}}$] に分類して、波の打上げ高の算定式を検討することにした。

3. 鉛直壁における波の打上げ高の算定式

3・1 $h > (h_b)_p$ の領域の波の打上げ高, (R/H'_b)

この領域の波の打上げ高は、重複波の波頂高にほぼ等しい。これまでの実験（海底勾配 $1/10 \sim 1/400$ ）によれば、有限振幅重複波理論の第2次近似式が実験値に適合あるいはやや過大な値を与える。第2次近似式の波頂高は次の式(3)で表わされる。

$$\frac{R}{H_0} = \left\{ 1 + \frac{\pi}{4} \frac{H}{L} \left(3 \coth^3 2\pi \frac{h}{L} + \tanh 2\pi \frac{h}{L} \right) \right\} \frac{H/L}{H_0'/L_0'} \frac{h/L_0}{h/L}, \quad (3)$$

ここに、 H' ：換算深水波高、 R ：静水位上の波の打上げ高、 L ：深水波長、 H および L ：堤脚水深 a における波高および波長、である。

3.2 $h = 0 \sim (h_p)_p$ の領域の波の打上げ高, $(R/H'_0 \text{ および } R'/H'_0)$

(1) 波の実質部分の打上げ高, (R/H'_0) : これまでの実験結果(海底勾配 $1/10 \sim 1/30$)によれば、
近似的に $R \propto h$ である。そこで、汀線($h=0$)における鉛直壁の打上げ高 R_0/H'_0 と $h=(h_0)_0$ における

る波の打上げ高 $(R_b)_p / H'_o$ を与えることによって、 $h=0 \sim (h_b)_p$ の領域の R / H'_o は近似的に式(4)で示される。

$$\frac{R}{H'_o} = \left\{ \frac{(R_b)_p}{H'_o} - \frac{R_o}{H'_o} \right\} \frac{h}{(h_b)_p} + \frac{R_o}{H'_o}, \quad (4)$$

ここに、 $(R_b)_p / H'_o$ は、式(3)に $h=(h_b)_p$ を代入して求められ、次の式(5)で示される。

$$\frac{(R_b)_p}{H'_o} = \left[1 + \frac{\pi}{4} \left(\frac{h_b}{L_b} \right)_p \left\{ 3 \coth^3 2\pi \left(\frac{h_b}{L_b} \right)_p + \tanh 2\pi \left(\frac{h_b}{L_b} \right)_p \right\} \right] \frac{(h_b/L_b)_p (h_b)_p / L_o}{H'_o / L_o (h_b/L_b)_p}, \quad (5)$$

R_o / H'_o は、これまでの実験結果(海底勾配 $1/10$)より、近似的に次の式(6)で表わされる。

$$\frac{R_o}{H'_o} = 0.18 \left(\frac{H'_o}{L_o} \right)^{-1/2}, \quad (6)$$

(2) 飛沫の打上げ高、 (R'/H'_o)

i) $h = h_{R'_{max}} \sim (h_b)_p$ の領域 : これまでの実験(海底勾配 $1/10$)によれば、この領域ではかなりの飛沫および跳波を生じ、その飛沫の打上げ高 R' の推定に式(3)を近似的に用いることができる。すなわち、 R'/H'_o は次の式(3)'で示される。

$$\frac{R'}{H'_o} = \left\{ 1 + \frac{\pi}{4} \frac{h}{L} \left(3 \coth^3 2\pi \frac{h}{L} + \tanh 2\pi \frac{h}{L} \right) \right\} \frac{H/L}{H'_o / L_o} \frac{h/L_o}{h/L}, \quad (3)'$$

ii) $h = 0 \sim h_{R'_{max}}$ の領域 : これまでの実験(海底勾配 $1/10$)によれば、この領域の飛沫の打上げ高は $R' \propto h^2$ であることが近似的に認められた。そこで汀線($h=0$)における R'/H'_o および $h=h_{R'_{max}}$ における R'_{max}/H'_o を与えることによって、次の式(7)で R'/H'_o を推定できる。

$$\frac{R'}{H'_o} = \left\{ \frac{R'_{max}}{H'_o} - \frac{R'_o}{H'_o} \right\} \left(\frac{h}{h_{R'_{max}}} \right)^2 + \frac{R'_o}{H'_o}, \quad (7)$$

ここに、 R'_{max}/H'_o は、式(3)に $h=h_{R'_{max}}$ を代入して求められるが、次の式(8)で示される。

$$\frac{R'_{max}}{H'_o} = \left[1 + \frac{\pi}{4} \left(\frac{h}{L} \right)_{R'_{max}} \left\{ 3 \coth^3 2\pi \left(\frac{h}{L} \right)_{R'_{max}} + \tanh 2\pi \left(\frac{h}{L} \right)_{R'_{max}} \right\} \right] \frac{(H/L)_{R'_{max}} h_{R'_{max}} / L_o}{H'_o / L_o (h/L)_{R'_{max}}}, \quad (8)$$

R'_o / H'_o は、これまでの実験結果(海底勾配 $1/10$)より、近似的に次の式(9)で示される。

$$\frac{R'_o}{H'_o} = 0.22 \left(H'_o / L_o \right)^{-1/2}, \quad (9)$$

4. 波の打上げ高の算定式の適合性

波の打上げ高 R/H'_o の算定式(3)および(4)、飛沫の打上げ高 R'/H'_o の算定式(3)'および(7)の計算値と実験値の比較が図-2に示される。実線が R/H'_o 、点線が R'/H'_o の計算値を表わしている。これより、実験値のばらつきが大きいが、一般に、計算値は実験結果をかなり的確に説明していることがわかる。図-2は $H'_o / L_o = 0.018$ の場合であるが、 $H'_o / L_o = 0.023, 0.038$ および 0.056 の場合もほぼ同様に、かなりよい結果を得ている。なお、図-2の鎖線は豊島ら(1967)の算定式 [$R=2.5h$ (ただし、適用範囲 $h=0.01L_o \sim (h_b)_p$)]を示すが、実験値に比較して、一般にやや過小な値を与える。

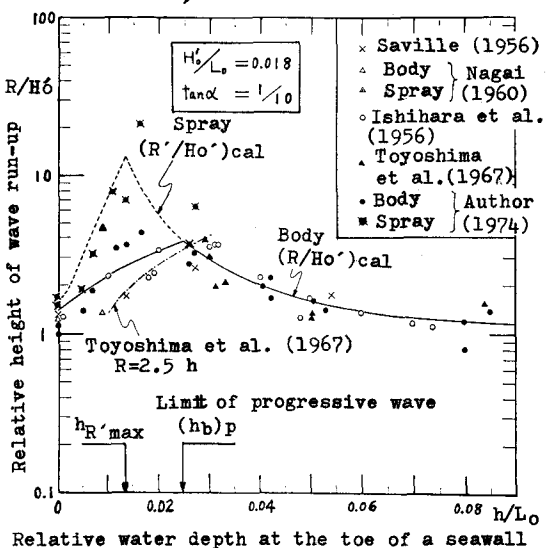


図-2 波の打上げ高の算定式の適合性